

آنالیز عدم قطعیت در برآورد حجم رسوب مخازن سدها با استفاده از روش آلفا-برش فازی (مطالعه موردي: سد لتيان)

مریم بیات^{۱*}کورش قادری^۲محمد مهدی احمدی^۳

چکیده

در تخمین میزان رسوب‌گذاری و تجمع رسوبات در مخزن، عدم قطعیت‌هایی وجود دارد که از عواملی مانند میزان دبی جریان، بار رسوب، اندازه ذرات و وزن مخصوص رسوبات، راندمان تله‌اندازی و نوع عملکرد مخزن، ناشی می‌شوند. در این مطالعه جهت به‌کمیت درآوردن عدم قطعیت برآورد حجم رسوب‌گذاری مخزن، داده‌های ۴۶ ساله دبی جریان و بار رسوب ایستگاه‌های هیدرومتری منتهی به مخزن سد لتيان مورد استفاده قرار گرفته و مدل تجربی برآورد حجم رسوب مخزن بر مبنای روش آلفا-برش فازی در محیط برنامه‌نویسی نرم‌افزار MATLAB توسعه داده شده است. میزان عدم قطعیت بار کل رسوب ورودی به مخزن، راندمان تله‌اندازی و حجم رسوب انباسته شده در مخزن توسط دوتابع عضویت فازی مریبوط به هر کدام و با پنج سطح آلفا-برش، به ترتیب $0/641$ ، $0/023$ ، $0/044$ و $0/004$ محاسبه گردید. نتایج نشان داد مقدار دبی جریان سالانه نقش مهمی در تغییرات میزان عدم قطعیت دارد و با افزایش دبی، عدم قطعیت افزایش می‌یابد. هم‌چنین عامل بار رسوب ورودی به مخزن، بیشترین و راندمان تله‌اندازی کمترین تأثیر را در به وجود آمدن عدم قطعیت در برآورد حجم رسوب مخزن لتيان دارند بنابراین رسوب ورودی سالانه به مخزن مهم‌ترین عامل در برآورد مقدار رسوب‌گذاری سالانه و رسوب انباسته شده در مخزن سد لتيان است.

واژه‌های کلیدی

تحلیل عدم قطعیت، راندمان تله‌اندازی، سد لتيان، آلفا-برش فازی، تابع عضویت فازی.

۱. دانشجوی کارشناسی ارشد مهندسی سازه‌های آبی، دانشگاه شهید باهنر کرمان، maryambayat14@yahoo.com

۲. استادیار گروه مهندسی آب، دانشکده کشاورزی دانشگاه شهید باهنر کرمان، کرمان، ایران.

۳. استادیار گروه مهندسی آب، دانشکده کشاورزی دانشگاه شهید باهنر کرمان، کرمان، ایران.

که روش برش آلفای فازی^{۱۰} (FAC) جایگزینی بسیار خوب برای روش شبیه‌سازی مونت کارلو است و برای پارامترهای عدم قطعیت که خروجی آن یکتابع یکنواخت باشد، سریع‌تر عمل می‌کند. ربولی و ردولفی^{۱۱} (۲۰۰۲) یک روش فازی برای آنالیز شبکه توزیع آب با در نظر گرفتن عدم قطعیت ناشی از عوامل غیرقطعی پیشنهاد دادند، آن‌ها با درنظر گرفتن عدم قطعیت در عوامل مستقل (تقاضای گره، ضرایب زبری لوله‌ها)، توابع عضویت عوامل فازی وابسته (دبی لوله و هد گره‌ها) را با استفاده از روشی بر اساس بازه جبری و تئوری بهینه‌سازی به دست آوردند. هدف از انجام این تحقیق، تحلیل عدم قطعیت برآورده حجم رسوب مخزن سد لتيان با استفاده از روش آلفا-برش فازی است. رمضانی موزیرجی و همکاران (۱۳۹۰) با استفاده از ترکیب تکیک‌های آماری و سیستم‌های فازی، روشی برای پیش‌بینی تغییرات تراز آب دریاچه خزر پیشنهاد دادند و تغییرات تراز آب این دریاچه را برای ۱۰ سال آینده پیش‌بینی نمودند.

تاکنون از روش آلفا-برش فازی برای تحلیل عدم قطعیت برآورده حجم رسوب مخازن استفاده نشده است. در این مطالعه مدل برآورده حجم رسوب مخزن سد لتيان بر مبنای روش آلفا-برش فازی و با در نظر گرفتن عدم قطعیت در عوامل ورودی، در محیط برنامه‌نویسی نرمافزار MATLAB توسعه داده شده است.

مواد و روش‌ها

منطقه مطالعاتی

سد لتيان در محدوده جغرافیایی به عرض ۳۵ درجه و ۴۷ دقیقه شمالی و به طول ۵۱ درجه و ۴۰ دقیقه شرقی واقع شده است. این سد بر روی رودخانه جاجروه با سطح حوضه آبریزی به مساحت ۶۹۸ کیلومترمربع و با متوسط جريان آب سالانه ۳۵۰ میزان (MCM) در استان تهران و در فاصله ۳۵ کیلومتری شمال شرقی تهران و ۵ کیلومتری بخش جاجرود قرار دارد. رودخانه جاجروه، آبریز و تأمین‌کننده اصلی و رودخانه‌های علی‌آباد، افجه و گلندوک، از دیگر آبریزهای این

مقدمه

اندازه‌گیری حجم رسوب ورودی به مخازن، راندمان تلهاندازی و محاسبه عمر مفید سدها از مهم‌ترین عواملی هستند که باید در روند طراحی سد و پس از ساخت در مدیریت بهره‌برداری به آن‌ها پرداخته شود. تخمین عوامل فوق با روابطی که غالباً تجربی هستند صورت می‌گیرد که باعث بوجود آمدن عدم قطعیت در نتایج می‌شود. بنابراین برای افزایش ضریب اطمینان به پژوهه لازم است در برآورد حجم رسوب مخازن سدها میزان عدم قطعیت محاسبات مورد توجه قرار گیرد و عوامل مؤثر در بوجود آمدن عدم قطعیت نیز شناخته شوند تا این عوامل با توجه بیشتری بررسی گردد. برای محاسبه عدم قطعیت روش‌های مختلفی مانند روش شبیه‌سازی مونت کارلو^۱ (MCS)، برآورده واریانس مرتبه اول^۲ (FOA)، نمونه‌گیری مکعب لاتین^۳ (LHS)، منطق فازی^۴ ... ارائه شده است. سالاس و شین^۵ (۱۹۹۹) عدم قطعیت برآورده حجم رسوبات مخزن کنی^۶ بر روی رودخانه وايت^۷ واقع در کلرادو را با استفاده از روش شبیه‌سازی مونت کارلو مورد بررسی قرار دادند و نتایج حساسیت عوامل و عدم قطعیت سطح آب، ارتفاع رقمون بستر و دبی جريان رسوب را تحلیل نمودند. تهرانی و همکاران (۲۰۰۸) با روش نمونه‌گیری مکعب لاتین برای عدم قطعیت در تخمین حجم رسوب تجمع یافته مخزن سد سحر-چای با روش واریانس مرتبه اول و آنالیز حساسیت نشان دادند که رسوب معلق، بار بستر و جريان سالانه، مهم‌ترین عامل مؤثر در حجم رسوب‌گذاری مخزن برای دو دوره کم بارش و پربارش و راندمان تلهاندازی و درصد رسوبات از عوامل تأثیرگذار بعدی هستند. گنجی نوروزی و همکاران (۱۳۸۷) عدم قطعیت محاسبه حجم رسوب ورودی به مخزن سد اکباتان را با روش‌های مونت کارلو و نقطه‌ای هار^۸ بررسی نمودند. بر اساس نتایج به دست‌آمده، دبی رسوب و دبی جريان بیشترین تأثیر و راندمان تلهاندازی کمترین تأثیر را در برآورده حجم رسوب ورودی داشته‌اند. ایبب و همکاران^۹ (۲۰۰۴) دو روش آنالیز عدم قطعیت شبیه‌سازی مونت کارلو و منطق فازی را روی مدل انتشار آلدگی آب زیرزمینی مقایسه کردند و نتایج نشان داد

⁷ White

⁸ Har

⁹ Abebe

¹⁰ Fuzzy Alpha-Cut

¹¹ Revelli and Redolfi

¹ Monte Carlo Simulation

² Frist-Order Variance Estimation Method

³ Latin Hypercube Sampling

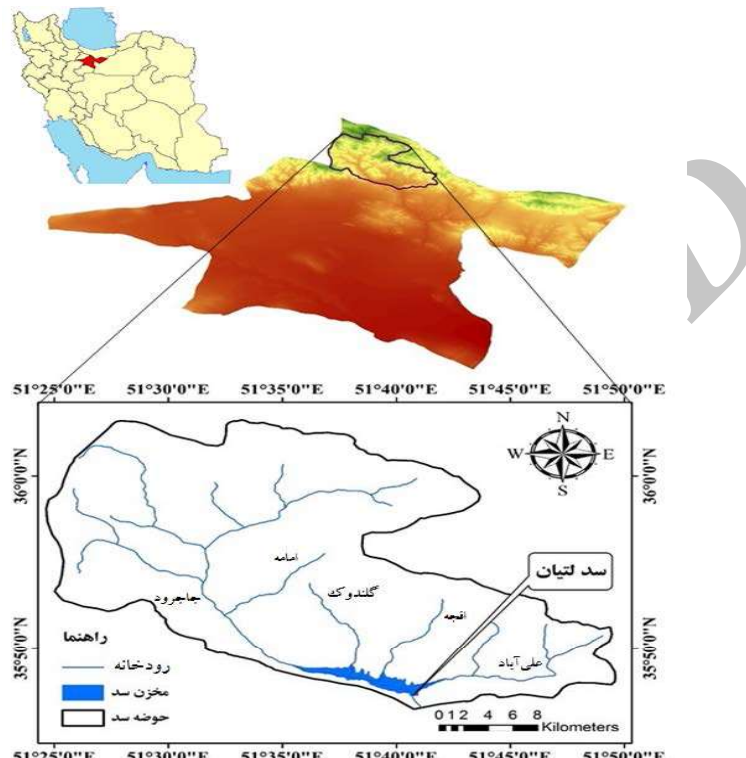
⁴ Fuzzy Logic

⁵ Salas and Shin

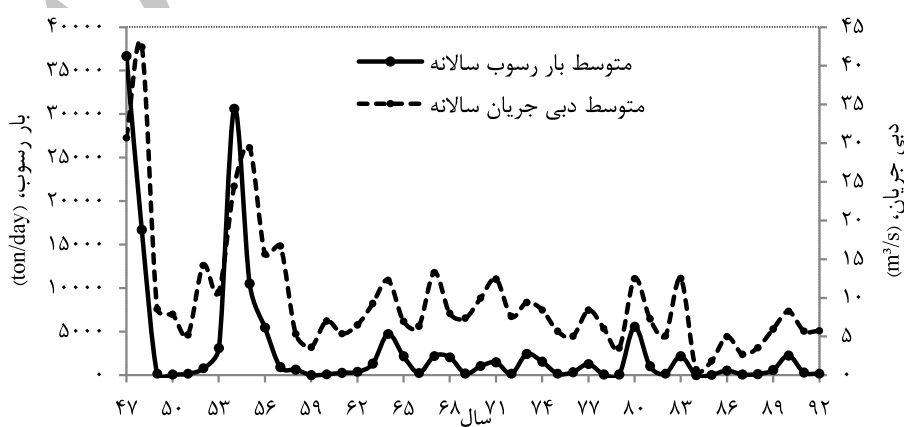
⁶ Kenny

تأمین کننده مخزن سد لتيان، اطلاعات سه دوره هيدروگرافی و متوسط درصد ذرات رسوب ورودی به مخزن از شركت آب منطقه‌ای استان تهران تهیه شد. شکل (۲) مقادير متوسط دي جريان و بار رسوب ورودي سالانه مخزن سد لتيان را در كل دوره آماری نشان مي‌دهد.

سد هستند. شکل (۱) موقعیت حوضه آبريز سد لتيان را نشان می‌دهد. اين سد از نوع بتني پايه‌دار، با ارتفاع ۱۰۷ متر از پی، حجم کل مخزن ۹۵ (MCM) و حجم مرده ۲۸ (MCM) در سال ۱۳۴۶ بهره‌برداری شده است. برای دستیابي به هدف مورد نظر اين پژوهش، آمار دي جريان و دي رسوب روزانه به مدت ۴۶ سال مربوط به ايستگاه‌های هيدرومتری رودخانه‌ها



شکل (۱): موقعیت جغرافیایی حوضه و سد لتيان



شکل (۲): متوسط دي جريان سالانه و متوسط بار رسوب سالانه ورودي به مخزن سد لتيان در طول دوره آماري

که، $TE_t = \frac{C_{t-1}}{QW_t} \times 10^6$ حجم مفید مخزن (m^3) در شروع سال t ، $I_t = 31.536 \times 10^6$ حجم آب ورودی (m^3) در سال t هستند.

کل بار رسوب تلهاندازی شده در مخزن^۱ (RSL) در سال مشخص t به صورت رابطه (۵) بیان می‌شود.

$$RSL_t = 3.65 QT_t \times TE_t \quad (5)$$

که RSL بر حسب ton است. رسوب تجمعی در مخزن^۲ (ton) بعد از t سال برابر خواهد بود با:

$$ARSL_t = ARSL_{t-1} + RSL_t, \quad t=1,2,\dots \quad (6)$$

که $ARSL_0 = 0$ است.

بعد از این که رسوبات در مخزن تلهاندازی شد، در طول زمان تحکیم می‌گردد. نوع بهره‌برداری از مخزن و اندازه ذرات رسوب ورودی به آن، از مهم‌ترین عواملی هستند که باعث تغییر در وزن مخصوص رسوبات انباسته شده می‌شوند. برای محاسبه وزن مخصوص رسوبات از فرمول میلر^۳ (۱۹۵۳) استفاده شد.

$$W_t = W_1 + 0.4343K \left[\left(\frac{t}{t-1} \right) (\ln t) - 1 \right], \quad t > 1 \quad (7)$$

که، W_t متوسط وزن مخصوص رسوبات (kg/m^3) بعد از t سال، W_1 وزن مخصوص اولیه رسوبات، و K ثابت تحکیم است. دو فاکتور W_1 و K تابعی از نوع بهره‌برداری مخزن و اندازه ذرات رسوب هستند. جدول (۱) مقادیر W_1 و K را برای شرایط مختلف بهره‌برداری مخزن و انواع رسوب، مانند رس، لای و ماسه معرفی می‌کند. برای رسوبات مخلوط، میانگین وزنی متوسط وزن مخصوصها و ثابت‌های تابعی به ترتیب با استفاده از معادلات (۸) و (۹) به دست می‌آید.

$$W_1 = 0.01[W_1(c)P(c) + W_1(m)P(m) + W_1(s)P(s)] \quad (8)$$

$$K = 0.01[K(c)P(c) + K(m)P(m) + K(s)P(s)] \quad (9)$$

که، $W_1(c)$ و $W_1(m)$ به ترتیب وزن مخصوص اولیه ذرات رس، سیلت و ماسه، $P(c)$ ، $P(m)$ و $P(s)$ درصدهای ذرات رس، سیلت و ماسه و $K(c)$ ، $K(m)$ و $K(s)$ به ترتیب ثابت تحکیم رس، سیلت و ماسه است. با توجه به عملکرد مخزن سد لیلان، رسوبات همیشه مستغرق یا نزدیک به مستغرق و متوسط درصد ذرات رسوب ورودی به مخزن شامل ۱۰/۷۲ درصد ماسه، ۴۶/۸۴ درصد سیلت و ۴۲/۴۴ درصد رس

مدل تجربی برآورد حجم رسوب مخزن

عدم قطعیت در رسوب‌گذاری مخازن از عواملی مانند جریان رسوب ورودی به مخزن، بدء آب و نوع رسوبات تجمع یافته در مخزن ناشی می‌شود. این عوامل در به وجود آمدن عدم قطعیت مقدار رسوبی که سالانه در مخزن انباسته می‌شود، رسوب تجمع یافته در مخزن در طول زمان بهره‌برداری و مدت زمانی که طول می‌کشد تا مقدار معینی رسوب در مخزن تجمع یابد، دخیل هستند (سلاس و شین، ۱۹۹۹). جهت برآورد سرعت کاهش حجم سد، پارامترهای رسوبی که شامل مقدار رسوب ورودی، راندمان تلهاندازی و وزن مخصوص رسوبات تنهشین شده است، برآورد گردیده است.

روش رایج برای تخمین بار رسوب سالانه، استفاده از منحنی سنجه رسوب معلق و بار بستر است. مقادیر روزانه دبی جریان، بار معلق و بار بستر متعلق به هر سال از دوره آماری با هم جمع و بر تعداد روزهای سال تقسیم می‌شوند تا متوسط دبی جریان و دبی رسوبات بار معلق و بستر به صورت سالانه به دست آید. سپس متوسط بار رسوب سالانه در مقابل دبی متوسط سالانه به صورت یک گراف رسم می‌گردد. منحنی سنجه رسوب سالانه مربوط به رسوبات معلق و بار بستر با استفاده از معادلات زیر به دست آمد.

$$\log_{10} QS_t = \log_{10} a_1 + b_1 \log_{10} QW_t \quad (1)$$

$$\log_{10} QB_t = \log_{10} a_2 + b_2 \log_{10} QW_t \quad (2)$$

که، QW_t متوسط دبی جریان سالانه (m^3/s) در سال t ، QS_t متوسط بار رسوب معلق سالانه (ton/day) در سال t ، QB_t متوسط سالانه بار بستر (ton/day) در سال t ، a_1 و b_1 به ترتیب ضرایب منحنی سنجه برای

متوسط بار سالانه معلق و بستر هستند.

سپس متوسط کل رسوب ورودی در سال t ، به صورت مجموع بار معلق و بستر طبق رابطه (۳) بیان می‌شود.

$$QT_t = QS_t + QB_t \quad (3)$$

پس از محاسبه مقدار رسوب ورودی، برای محاسبه مقدار رسوب تنهشین شده در مخزن ابتدا راندمان تلهاندازی با استفاده از رابطه Brune به دست آمد.

$$TE_t = 100 \left[1 - \frac{1}{1+100(C_{t-1}/I_t)} \right]^{1.5} \quad (4)$$

³ Miller

¹ Reservoir Sedimentation Load

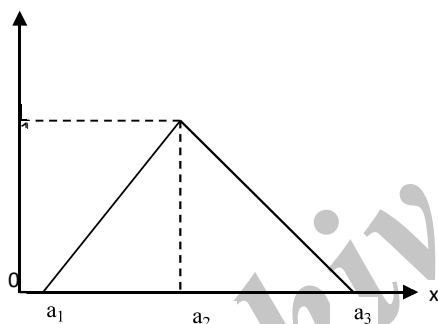
² Accumulated Reservoir Sedimentation Load

است، متوسط وزن مخصوص رسوبات (kg/m^3) $1175/37$ به دست آمد.

جدول (۱): وزن مخصوص اولیه و ضرایب تحکیم براساس نوع رسوبات و نوع عملکرد مخزن، (ایمان شعار و همکاران، ۲۰۱۴)

رس		سیلت		ماسه		نوع عملکرد مخزن
$w_1(c)$ (kg/m^3)	$K(c)$	$w_1(m)$ (kg/m^3)	$K(m)$	$w_1(s)$ (kg/m^3)	$K(s)$	
۴۱۶	۲۵۶	۱۱۲۰	۹۱	۱۵۰۰	صفر	رسوبات همیشه مستغرق یا نزدیک به مستغرق
۵۶۱	۱۳۵	۱۱۴۰	۲۹	۱۵۵۰	صفر	افت مخزن از متوسط تا مقدار قابل توجه
۶۴۱	صفر	۱۱۵۰	صفر	۱۵۵۰	صفر	مخزن خالی نرمال
۹۶۱	صفر	۱۱۷۰	صفر	۱۵۵۰	صفر	رسوبات بستر رودخانهای

Membership value $\mu_A(x)$



شکل (۳): منحنی تابع عضویت مثلثی با اعداد فازی $A = (a_1, a_2, a_3)$ (شیبو و ردی، ۲۰۱۴)

جهت تبدیل جرم رسوب تجمع یافته در مخزن به حجم رسوب تجمعی^۱ (ARSV)، از وزن مخصوص رسوبات استفاده می‌شود.

$$\text{ARSV}_t = 1000 \text{ ARSL}_t / W_t \quad (10)$$

که، ARSV_t حجم رسوبات تجمع یافته در مخزن سد (m^3) بعد از t سال است.

در نهایت حجم مفید باقیمانده در انتهای سال t را می‌توان به صورت رابطه (۱۱) بیان کرد.

$$C_t = C_0 - \text{ARSV}_t \quad (11)$$

که C_0 حجم مفید اولیه مخزن است (گنجی نوروزی و همکاران، ۱۳۸۷).

تابع عضویت مثلثی به صورت زیر تعریف می‌شود:

$$\mu_A(x) = \begin{cases} 0 & x < a_1 \\ \frac{x-a_1}{a_2-a_1} & a_1 \leq x \leq a_2 \\ \frac{a_3-x}{a_3-a_2} & a_2 \leq x \leq a_3 \\ 0 & x > a_3 \end{cases} \quad (12)$$

که، a_1, a_2 و a_3 اعداد فازی مثلثی هستند.

آلفا-برش فازی^۲

این روش، از تئوری مجموعه منطق فازی برای تعیین عدم قطعیت پارامترها استفاده می‌کند. عوامل غیرقطعی به صورت اعداد فازی با تابع عضویت مناسب بیان می‌شوند. شکل (۴)

پارامترهای فازی و تابع عضویت مثلثی^۲

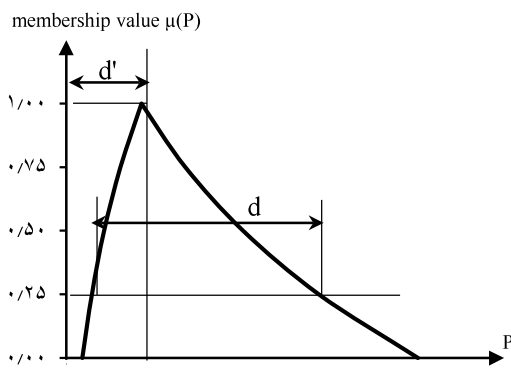
مجموعه فازی به صورت اعضای فازی که در نهایت تابع عضویت فازی را ارائه می‌دهد، تعریف می‌شود. عوامل فازی درجه عضویتی بین صفر تا یک دارند. رایج‌ترین انواع تابع عضویت شامل توابع مثلثی و ذوزنقه‌ای هستند. شکل (۳) تابع عضویت مثلثی با اعداد فازی را نشان می‌دهد.

^۳ Shibu and Reddy

^۴ Fuzzy α - cut

^۱ Accumulated Reservoir Sedimentation Volume

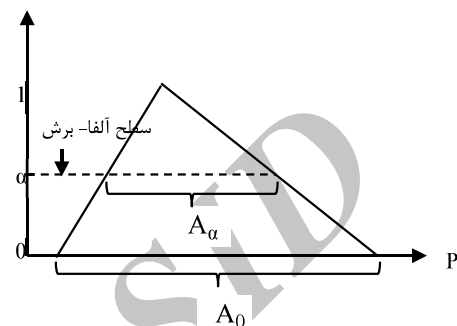
^۲ Triangular Membership Function



شکل (۵): محاسبه عدم قطعیت برای روش FAC (ایبی و همکاران، ۲۰۰۰)

عوامل فازی p را که به صورت عدد فازی مثلثی ارائه شده است، با دامنه A_0 معرفی می‌کند. عربی‌تر بودن دامنه تابع عضویت، بیان‌گر بیشتر بودن میزان عدم قطعیت است. به مجموعه‌ای از تمام عوامل مربوط به دامنه‌ای از مجموعه فازی اصلی که دارای یک درجه عضویت در بازه $[0 \dots 1]$ است، برش آلفا یا آلفا-برش (α-cut) تابع عضویت می‌گویند (شیبو و ردی، ۲۰۱۴)

membership value $\mu(P)$



شکل (۴): آلفا-برش و دامنه اعداد فازی، (شیبو و ردی، ۲۰۱۴)

جهت تعیین بازه آلفا-برش برای عوامل ورودی با تابع عضویت مثلثی از روابط زیر استفاده می‌شود.

$$\text{مرز } k \text{ امین آلفا-برش برای تابع عضویت مثلثی: } (13)$$

$$a_k = a_1 + (a_2 - a_1) * ([k-1]/n)$$

$$(14) \text{ مرز } k = a_3 - (a_3 - a_2) * ([k-1]/n)$$

که، a_1, a_2 و a_3 اعداد فازی مثلثی و n تعداد بخش‌های تابع عضویت است که از آلفا-برش‌ها حاصل می‌شود.

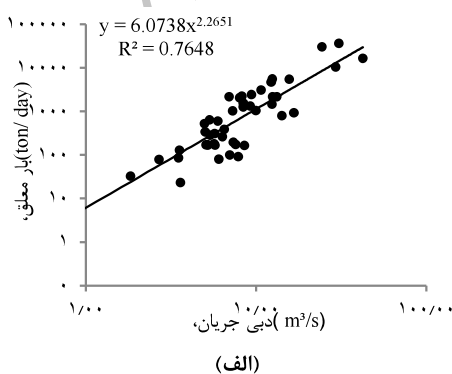
محاسبه عدم قطعیت با استفاده از روش آلفا-برش فازی (FAC)

به دلیل این‌که ضرایب منحنی سنجه رسوب با تعداد محدودی اندازه‌گیری صحراپی دبی جریان و دبی رسوب تهیه می‌شوند، دارای عدم قطعیت هستند. عوامل غیرقطعی روابط منحنی سنجه رسوب (ضرایب رگرسیونی a و b) به صورت اعداد فازی با تابع عضویت مثلثی وارد مدل برآورد حجم رسوب مخزن می‌شوند. توابع عضویت پارامترها توسط ۵ آلفا-برش به ۴ بخش تقسیم می‌شوند. در نهایت خروجی‌های فازی مدل به همراه توابع عضویت آن‌ها به دست خواهد آمد.

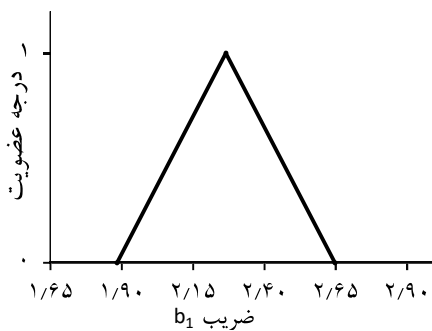
میزان عدم قطعیت خروجی‌ها با استفاده از روش آلفا-برش فازی از طریق نسبت بازه مربوط به هر آلفا-برش به مقدار آلفا-برش یک محاسبه می‌شود. شکل (۵) نحوه محاسبه میزان عدم قطعیت را برای آلفا-برش 0.25 نشان می‌دهد.

عدم قطعیت برآورد حجم رسوب مخزن سد لتیان، با در نظر گرفتن ضرایب منحنی سنجه رسوب (روابط ۱ و ۲) بار معلق و بار بستر (a_1, b_1 و a_2, b_2) به عنوان عوامل غیرقطعی، به کمیت درآورده شد. شکل (۶) منحنی سنجه رسوب سالانه بازه داده‌های آماری ۴۶ ساله دبی جریان و دبی رسوب ورودی به مخزن لتیان را نشان می‌دهند. به منظور تعیین عوامل فازی رابطه منحنی سنجه، با استفاده از نرم‌افزار SPSS رگرسیونی بین داده‌های سالانه دبی جریان با بار معلق و دبی جریان با بار بستر ایجاد شد.

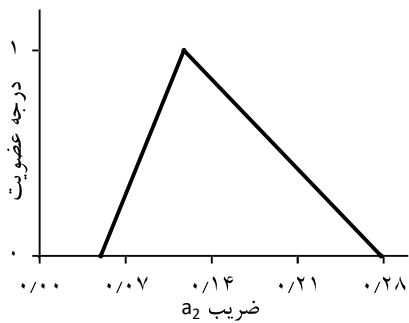
برای هر کدام از ضرایب (a_1, b_1 و a_2, b_2)، سه عدد فازی به دست آمد که این اعداد فازی، توابع عضویت مثلثی عوامل ورودی مدل را تشکیل می‌دهند. اعداد فازی مربوط به رابطه منحنی سنجه رسوب بار معلق ($QS_t = a_1 QW_t^{b_1}$) و بار بستر ($QB_t = a_2 QW_t^{b_2}$) به شرح جدول (۲) به دست آمده است.



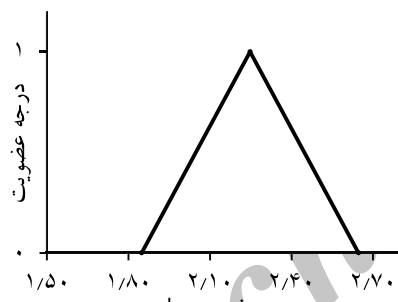
(الف)



شکل (۸): تابع عضویت مثلثی ضرایب رابطه منحنی سنجه بار معلق، b_1

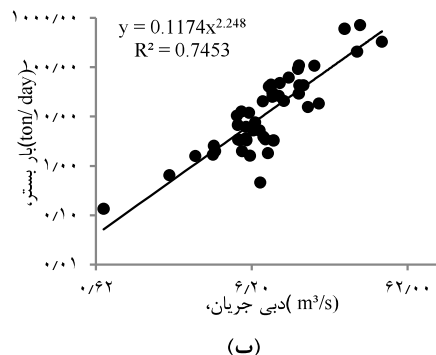


شکل (۹): تابع عضویت ضریب رابطه منحنی سنجه بار بستر، a_2



شکل (۱۰): تابع عضویت ضرایب رابطه منحنی سنجه بار بستر،
(الف) a_2 و (ب) b_2

مدل برآورد حجم رسوب مخزن بر مبنای روش آلفا-برش فازی توسعه داده شد و تابع عضویت عوامل ورودی به چهار بخش تقسیم (مقادیر a : صفر، $0/25$ ، $0/5$ و $0/75$ و 1) و مرز کمینه و بیشینه هر کدام از بازه‌های مربوط به هر آلفا-برش توسط روابط (۱۳) و (۱۴) محاسبه شد. این مقادیر برای هر چهار تابع عضویت ورودی، در جدول (۳) آورده شده است.

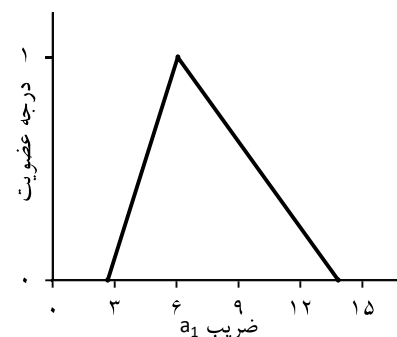


شکل (۶): منحنی سنجه رسوب سالانه، (الف): بار معلق،
(ب): بار بستر، (log-log)

جدول (۲): اعداد فازی مشتمل برای عوامل غیرقطعی

پارامتر	کمینه درجه عضویت، صفر	متوسط درجه عضویت، یک	بیشینه درجه عضویت، صفر
a_1	۱۳/۸۴	۶/۰۷	۲/۶۷
b_1	۲/۶۴۷	۲/۲۶۵	۱/۸۸۳
a_2	۰/۲۸	۰/۱۲	۰/۰۵
b_2	۲/۶۴۷	۲/۲۴۸	۱/۸۴۹

با استفاده از اعداد فازی مذکور برای هر یک از ضرایب رگرسیونی، یک تابع عضویت مثلثی حاصل شد. شکل‌های (۷) و (۸) به ترتیب تابع عضویت ضرایب رگرسیونی a و b رابطه منحنی سنجه بار معلق و شکل‌های (۹) و (۱۰) به ترتیب تابع عضویت ضرایب رگرسیونی a و b رابطه منحنی سنجه بار بستر را نشان می‌دهند.



شکل (۷): تابع عضویت مثلثی ضرایب رابطه منحنی سنجه بار معلق، a_1

جدول (۳): ضرایب رگرسیونی رابطه منحنی سنجه بار معلق و بار بستر به ازای هر آلفا-برش

ضرایب منحنی سنجه بار معلق				ضرایب منحنی سنجه بار بستر				مقدار برش آلفا
a_2^{\min}	a_2^{\max}	b_2^{\min}	b_2^{\max}	a_1^{\min}	a_1^{\max}	b_1^{\min}	b_1^{\max}	
-۰/۰۵	-۰/۲۸	۱/۸۴۹	۲/۶۴۷	۲/۶۷	۱۳/۸۴	۱/۸۸۳	۲/۶۵	صفر
-۰/۰۷	-۰/۲۴	۱/۹۵	۲/۵۵	۳/۵۲	۱۱/۸۹	۱/۹۸	۲/۵۵	۰/۲۵
-۰/۰۸	-۰/۲۱	۲/۰۵	۲/۴۵	۴/۳۷	۹/۹۵	۲/۰۷	۲/۴۶	۰/۵
-۰/۱	-۰/۱۶	۲/۱۵	۲/۳۵	۵/۲۲	۸/۰۱	۲/۱۷	۲/۳۶	۰/۷۵
-۰/۱۲		۲/۲۴۸		۶/۰۷		۲/۲۶۵		۱

جدول (۵): حجم مفید باقیمانده (C) مخزن سد لتیان در سال (MCM) ۱۳۹۲

مدل ۴	مدل ۳	مدل ۲	مدل ۱	آلفا-برش
-۱۶۰/۱۸	۴۸/۱۱	۳۰/۰۲	۶۲/۳۲	صفر
-۰/۰۴۴	۴۵/۵۷	۳۰/۹۸	۶۰/۵۹	۰/۲۵
۲/۲۴	۴۳/۲۵	۳۳/۷۷	۵۶/۴۵	۰/۵
۲۲/۷۳	۴۱/۵۷	۳۷/۳۹	۵۰/۲۸	۰/۷۵
۴۱/۲۳	۴۱/۲۳	۴۱/۲۳	۴۱/۲۳	۱

برآورد عدم قطعیت، با استفاده از توابع عضویت عوامل هدف محاسبه می‌شود، بدین منظور با ترکیب حد بالا و پایین مقادیر عوامل هدف، توابع عضویت خروجی حاصل می‌گردد. در این مطالعه برای هر کدام از عوامل هدف که شامل بار رسوب ورودی، راندمان تلهاندازی و برآورد حجم مفید مخزن هستند، دو تابع عضویت در نظر گرفته شد. در جدول (۶) مقادیر تشکیل دهنده توابع عضویت عوامل هدف ارائه شده است و شکل (۱۱) تابع عضویت عامل هدف حجم مفید مخزن را نشان می‌دهد.

جدول (۶): مقادیر تشکیل دهنده توابع عضویت عامل هدف

تابع عضویت	مقادیر تشکیل دهنده تابع عضویت عامل هدف
۱	$(a_{\min}, b_{\min}), (a_{\max}, b_{\min})$
۲	$(a_{\min}, b_{\min}), (a_{\min}, b_{\max})$

عوامل ورودی فازی روابط منحنی سنجه رسوب به صورت چهار مدل مختلف وارد مدل برآورد حجم رسوب شدند و سایر ورودی‌های مدل، مانند متوسط دبی جریان سالانه (QW) و متوسط درصد ذرات رسوب، مقداری ثابت دارند. این چهار مدل به شرح جدول (۴) است.

جدول (۴): انواع مختلف عوامل فازی ورودی (ضرایب منحنی سنجه رسوب) برای محاسبه بار معلق و بار بستر

$QB_t = a_2 QW_t^{b_2}$	$QS_t = a_1 QW_t^{b_1}$	مدل
a_2^{\min} و b_2^{\min}	a_1^{\min} و b_1^{\min}	۱
a_2^{\min} و b_2^{\max}	a_1^{\min} و b_1^{\max}	۲
a_2^{\max} و b_2^{\min}	a_1^{\max} و b_1^{\min}	۳
a_2^{\max} و b_2^{\max}	a_1^{\max} و b_1^{\max}	۴

باتوجه به داده‌های آماری ۴۶ ساله مخزن سد لتیان (Qw و درصد ذرات رسوب) مدل برآورد حجم رسوب به ازای هر آلفا-برش و چهار مدل مختلف ذکر شده در جدول (۴)، اجرا و برای هر سال عوامل هدف موردنظر (بار رسوب ورودی، راندمان تلهاندازی، جرم و حجم رسوب تجمعی و حجم مفید مخزن) حاصل گردید. ورود ضرایب رگرسیونی به صورت مدل چهار در رابطه منحنی سنجه رسوب، خروجی‌ها را با مقادیر زیاد برآورد می‌کند و در نتیجه باعث بی‌معنی شدن مقادیر حجم مفید مخزن در این مورد می‌شود در نتیجه نیازی به محاسبه عدم قطعیت عوامل هدف به این مدل ناست. در جدول (۵) مقادیر محاسبه شده حجم مفید مخزن در سال آخر دوره آماری (سال ۱۳۹۲) ارائه شده است.

بنابراین رسوب ورودی سالانه به مخزن مهم‌ترین عامل در برآورد مقدار رسوب‌گذاری سالانه و رسوب انباسته شده در مخزن لتیان است. نتایج مطالعه حاضر با نتایج تحقیقات به عمل آمده از روش‌هایی نظری شبیه‌سازی مونت‌کارلو و واریانس مرتبه اول و...، مشابه است.

روش مونت‌کارلو نیز مانند روش آلفا-برش فازی علاوه بر برآورد عدم قطعیت کلی توانایی محاسبه عدم قطعیت مربوط به هر عامل را دارد اما روش آلفا-برش فازی بسیار ساده‌تر بوده و حجم محاسبات آن نسبت به روش مونت‌کارلو کم‌تر است.

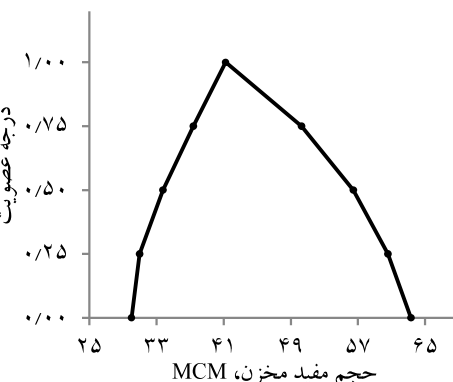
نتیجه‌گیری

مقدار حجم مفید مخزن لتیان در سال ۱۳۹۲، ۴۰/۵۹ (MCM) و عمر مفید سد لتیان با احتساب ۹۵ طرفیت کل مخزن، ۸۸ سال برآورد گردید.

عدم قطعیت‌های بار رسوب ورودی، راندمان تله‌اندازی و حجم رسوب مخزن به ترتیب ۰/۶۴۱، ۰/۰۲۳ و ۰/۳۴۴ محاسبه شد. دبی جریان در تغییر میزان عدم قطعیت بسیار مؤثر بوده و با افزایش دبی جریان، مقدار عدم قطعیت نیز افزایش می‌یابد. با توجه به عدم قطعیت عوامل هدف مدل، عامل بار رسوب ورودی به مخزن پس از عامل دبی جریان، بیشترین تأثیر را در به وجود آمدن عدم قطعیت در مدل برآورد حجم رسوب دارد و کمترین تأثیر مربوط به عامل راندمان تله‌اندازی است. نتایج نشان داد روش آلفا-برش فازی جایگزین مناسبی برای روش مونت‌کارلو و سایر روش‌های برآورد عدم قطعیت است.

مراجع

- ۱- رمضانی موزیرچی، ف، یعقوبی، م. و قانقرمه، ع، (۱۳۹۰)، "پیش‌بینی تراز آب دریای خزر مبتنی بر سیستم تقریب‌گر فازی"، مجله آب و فاضلاب، شماره ۳، ۹۸-۹۰.
- ۲- گنجی نوروزی، ز، سامانی، ج.م. و مرید، س.، (۱۳۸۷)، "بررسی عدم قطعیت حجم رسوب مخازن سدها"، تحقیقات منابع آب ایران، سال چهارم، شماره یک، ۹۰-۹۷.
- 3- Abebe, A., Guinot, V. and Solomatine, D. (2004), "Fuzzy alpha-cut vs. Monte Carlo techniques in assessing uncertainty in model parameters", Proceedings of the 4th International Conference on Hydroinformatics, Iowa City, USA.



شکل (۱۱): تابع عضویت حجم مفید مخزن

عدم قطعیت رسوب‌گذاری مخزن

پس از تشکیل توابع عضویت عوامل هدف برای هر سال، عدم قطعیت هر آلفا-برش مربوط به هر تابع عضویت برای سال‌های دوره آماری محاسبه گردید. سپس عدم قطعیت سالانه مربوط به بار کل رسوب، راندمان تله‌اندازی و حجم مفید مخزن، جدول‌بندی شده سپس با مقایسه مقادیر عدم قطعیت‌های سالانه با یکدیگر کمترین میزان عدم قطعیت (۰/۰۵۷) مربوط به سال ۴۰ بهره‌برداری (سال ۱۳۸۵) با دبی سالانه جریان ۱/۸۴ (m^3/s) و بیشترین مقدار عدم قطعیت (۰/۰۸۳) مربوط به سال سوم (سال ۱۳۴۸) با بیشینه دبی سالانه جریان ۴۲/۴۱ (m^3/s) است بنابراین می‌توان نتیجه گرفت که دبی جریان در تغییر میزان عدم قطعیت بسیار مؤثر بوده و با افزایش دبی جریان، مقدار عدم قطعیت نیز افزایش می‌یابد. با محاسبه میانگین عدم قطعیت‌های سالانه هر یک از فاکتورهای خروجی، عدم قطعیت کلی برآورد گردید. در جدول (۷) مقادیر عدم قطعیت بار کل رسوب، راندمان تله‌اندازی و حجم مفید مخزن ارائه شده است.

جدول (۷): مقادیر عدم قطعیت عوامل مدل برآورد حجم رسوب

مخزن

عوامل عدم قطعیت	عوامل خروجی
۰/۶۴۱	بار رسوب ورودی به مخزن (QT)
۰/۰۲۳	راندمان تله‌اندازی (TE)
۰/۳۴۴	حجم رسوبات مخزن (ARSV)

با توجه به عدم قطعیت خروجی‌های مدل، عامل بار رسوب ورودی به مخزن پس از عامل دبی جریان، بیشترین تأثیر را در به وجود آمدن عدم قطعیت در مدل برآورد حجم رسوب دارد و کمترین تأثیر مربوط به عامل راندمان تله‌اندازی است.

- 8- Salas, J. D. and Shin, H. (1999). "Uncertainty analysis of reservoir sedimentation." *Journal of Hydraulic Engineering*. 125(4), 339–350.
- 9- Shibu, A. and Reddy, M. J. (2014), "Optimal Design of Water Distribution Network Considering Fuzzy Randomness of Demands Using Cross Entropy Optimization." *Water Resources Management*. 28, 4075-4094.
- 10- Tehrani, M. V., Samani, J. M. V. and Montaseri, M., (2008). "Uncertainty analysis of reservoir sedimentation using Latin Hypercube sampling and Harr's method: Shahar ChaiDamin Iran." *Journal of Hydrology New Zealand*. 47(1), 25–42.
- 4- Brune, G. M., (1953), "Trap efficiency of reservoirs." *Trans. American Geophysical Union*. 34(3), 407-418.
- 5- Imanshoar, F., Jahangirzadeh, A., Bassar, H., Akib, Sh., Kamali, B., M. Tabatabaei, M.R. and Kakouei, M. (2014)," Reservoir Sedimentation Based on Uncertainty Analysis." *Hindawi Publishing Corporation*. 2014, 1-6.
- 6- Miller, C. R., (1953), "Determination of the unit weight of sediment for use in sediment volume computations", Bureau of reclamation, Denver.
- 7- Reveli, R. and Ridolfi, L. (2002), "Fuzzy approach for analysis of pipe networks." *Journal of Hydrologic Engineering*. 128(1), 93-101.

Uncertainty Analysis of Reservoir Sedimentation Using Fuzzy α -cut (Case Study: Latian Dam)

Maryam Bayat ^{*1}

Kourosh Qaderi ²

Mohammad Mahdi Ahmadi ³

Abstract

There are a number of uncertainties in estimating reservoir sedimentation and accumulation which are related to amount of streamflow, sediment load, sediment particle size, specific weight, trap efficiency and reservoir operation. In this study, to analyze the uncertainty of annual reservoir sedimentation, the accumulated reservoir sedimentation data for 46 years has been used and an empirical model to estimate the volume of reservoir sedimentation based on Fuzzy α -cut method has been developed in MATLAB software environment. Two fuzzy membership function with five level of α -cut have been used to calculate the uncertainty annual reservoir sedimentation, trap efficiency and accumulated reservoir sedimentation. The calculated uncertainty is about 0.641, 0.023, 0.344, respectively. The results have shown that the streamflow has an important role in uncertainty, i.e. uncertainty increases while the streamflow is increased. Sediment load factor and the trap efficiency have the most and least effects on uncertainty of Latian reservoir sedimentation volume estimate, respectively.

Keywords

Uncertainty, Trap efficiency, Latian dam, Fuzzy Alpha-cut method, Fuzzy membership function.

^{1*} MSc student of water structure engineering, Shahid Bahonar University of Kerman. maryambayat14@yahoo.com.

² Assistant professor, Department of water engineering, Shahid Bahonar University of Kerman.

³ Assistant professor, Department of water engineering, Shahid Bahonar University of Kerman.

Received: 2016/01/21

Accepted: 2016/10/29